

埼玉大学 工学部 正会員 ○ 穂辺邦夫
東電設計株式会社 星野吉昇

はじめに

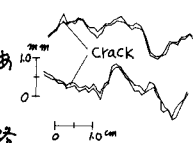
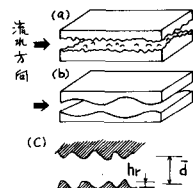
岩盤の透水性を把握するためには、通常ルジオン試験などの現場実測法が行なわれる。しかし、現場透水試験で得られる値は局所的な場の透水係数であり、広領域の岩盤に対しては、事实上点としての把握しかできない。一方、岩盤の地質調査によれば岩盤を面あるいは線としてとらえることができる。そのため、地質調査結果から岩盤の透水性が量的に評価しえれば、現場透水試験と併用しより全体的な透水性が把握しうることとなる。ここで、岩盤の透水性は主にその中に発達するCRACK系によって決定されるから、まず基礎的には单一CRACKの間隙幅や壁面凹凸など諸形状と透水係数との関係を知ることが重要である。この場合、実際のCRACK中の流れが層流かどうか問題であるが、トンネルなどの近傍を除いてほぼ層流と考えてよさそう。今回の研究は以上をふまえ、一般的な单一open-CRACKについて、その形状と透水係数との関係を調べたものである。

1 従来の研究とその問題点

单一OPEN-CRACKの形状と透水係数との関係についての研究は、Lomig¹⁾, Louis²⁾らによて行なわれている。それらは図-1(a), (b)に例示する、表面に各種の凹凸(粗度)をつけた二枚の平行板間隙をCRACKのモデルと考え、その中の漫透流抵抗則を層流-乱流をとおして実験的に調べたものである。その結果 Louisらは層流状態抵抗則から透水係数(K)が、

$$K = g \cdot (D)^2 / 12V (1 + A(h/D_n)^{1.5}) \quad \dots \dots \dots \quad (1)$$

で表現しうるとした。ここで、 A =定数、 g =重力加速度、 V =動粘性係数、 D =水力直径 ($D_n = 4\pi S / A$)、 A =流れ断面積、 S =溝深。図-1(c)に示す平均間隙幅、平均粗度高さ、 D_n =水力直径 ($D_n = 4\pi S / A$)、 A =流れ断面積、 S =溝深。この場合 $D_n = 2D$ であり、 A 値として Lomig は 17.0, Louis は 8.8 を与えた。これららの研究はある程度の成果を挙げたが、同時に多くの問題を持っています。たとえば h という量であるが、実際のCRACKは図-2に例示するように複数の凹凸を持ち、漫透経路内の粗度がかなり多く経路の曲がりを形成している。従ってどこを h とするか定義しつぶい。これは必ずしも直線間隙幅 図-2 実際のCRACK側の変化をうながす方が良い。つぎ、両者の A 値がかなり異なり、あります。実験式の妥当性に疑問が残る。どうしてこの差が出るのか詳しく検討する必要がある。さらには従来の研究では、実際のCRACKを用いて、実験式の検証をしてみらず、こゝ点が最大の問題であろう。以上の問題点をふまえ、今までCRACKの形状と間隙幅の変化をとらえ、CRACK内の流れを近似的な理論式を考え、その式の近似度を実験で検証した。つぎに実際のCRACKの透水係数を実測し、この近似的な考え方やさらには Louis らの実験式の結果と比較し、それらの有用性を調べた。

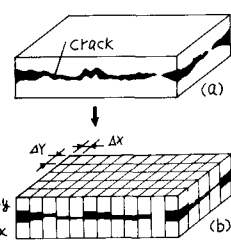


2 近似理論とその実験による検証

近似的な考え方をまず図-3(a)に示すCRACKを(b)のよう ΔX , ΔY で X - Y 平面に割り、各 X - Y 領域はそれをまた間隙幅を持つとする。ここで、 X 方向流速を無視し、各 X - Y 領域内の流れがアズビイ則が成立すると仮定すれば、透水量係数が場所的に変化する場合の通常の地下水水流連続式と同様の式が成立する。

$$\frac{\partial}{\partial X} (C_{xy} v_x) + \frac{\partial}{\partial Y} (C_{yy} v_y) = 0 \quad \dots \dots \dots \quad (2)$$

ここで、 C = 透水量に関する係数、 v = 速度である。実際には(2)式を差分化して解く



が、各差令(i,j) $\times\Delta x\times\Delta y$ にて、その間隙幅 $d_{i,j}$ を用い、 $C_{i,j}=\frac{3}{12}U\cdot(d_{i,j})^3$ となる。この式が十分妥当であるならば、間隙幅の今布 $d_{i,j}$ さえ与えれば、各差令 $\Delta x\times\Delta y$ の水頭がわかれり透水係数を求めうる。問題は妥当性であるがつぎに、実験的に検討した。実験は図-4に示す。

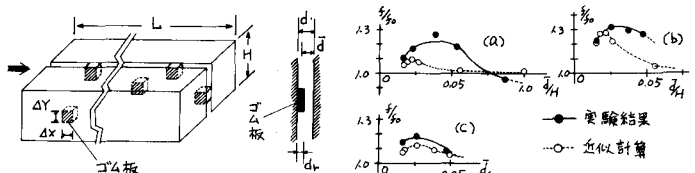


図-4 実験装置模式図

図-5 近似計算と実験との比較

概念的に示す装置を用いた。これは間隙幅 d を持つ二枚の平行板間に、面積 $\Delta x\times\Delta y$ 、厚さ d_{tr} のゴム板を片側の板にはりつけたものである($d \gg d_{tr}$)。ゴム板のはりつけ位置や枚数は種々変えた。実際の実験では $\Delta x=\Delta y=1\text{cm}$ とし、図中の間隙長さ H 、その幅 d はそれぞれ 50cm 、 5cm とした。ここで H が小さいため、 d が大きくなるとダクト中の流れとなり(2)式と比較しうるのは d の小さい範囲のみである。図-5に実験結果と(2)式の解との比較を示す。図中(a), (b), (c)はゴム板のはりつけ位置や個数を変えたものである。また図にあいて横軸に平均幅 \bar{d} と H の比 \bar{d}/H をとる、縦軸には間隙幅 d とゴム板(粗度)のない場合の理論的透水係数 K_0 と実測および計算透水係数 K との比 K/K_0 とした。前述のようく、これらはよくあるいは d の小さい範囲でしか直接の比較はできないが、ほぼ $\bar{d}/H \leq 0.03$ 程度の範囲で実験値と計算値がよく合つており、(2)式の妥当性がある程度検証したと考える。

3 近似解の性質と実測透水係数との比較

近似解とLouisの実験式を比較するため、計算領域を流水方向 $L=30\text{cm}$, 流れに直角方向 $L=10\text{cm}$ とり、各 $\Delta x\times\Delta y$ 側として $d_{i,j}$ に $0\sim1$ までの一様乱数 $d_{i,j}$ 、また $\Delta x=\Delta y=1\text{cm}$ とする。各 $d_{i,j}$ と $d_{i,j}-\delta$ ($d_{i,j}<\delta$ の場合 $\delta=d_{i,j}$)の各ケースをもとし計算した例が図-6である。

ここで F , B , β は任意の数($\beta>0$, $0<F<1$)である。Louisの実験式と比較するため、平均粗度高さ h_{tr} を近似的に $h_{tr}=\frac{2}{N}\sum(d_{i,j}-\bar{d})$ とすると。

図中、横軸は h_{tr}/D_h 、縦軸は粗度 δ と粗度のない場合の透水係数 K_0 ($K_0=\frac{3}{12}U(\delta)^2$)と各方法で求めた透水係数 K との比を示す。近似解とあたっては、 $N=300$ と少いため、用いる乱数により結果に差がでることを考慮して、各ケース20種の累積分布を粗度をえた。図中の実線は平均値であり、各記号のバラつきは、乱数の性質によるものである。Crack幅が大きく、間隙幅今布が一様乱数的であれば、この実験から透水係数が求めうる。

またこの図から、Lomisの式は $\delta=0$ がO.3付近で近似値に近く、Louisの式は $\delta=0$ がより小さき値ほど近似解と近くなることがわかり、両者の違いは、実験の条件が異ることによる結果であると推定しうる。

さらに今回、4本の花崗岩コアサンプル中の実際の单一Crack中の間隙幅今布を測定し(図-7(a), (b)に例示)、この今布に従う乱数を各 $\Delta x\times\Delta y$ に与え近似解を求めた。その結果を表-1に示す。表中あわせてLomis, Louisの実験式、図-6の実験による読みを示した。また同時に、実測値をあげた。全体的にみて各方法ともかなり実測値と近い値を示しているといえるが、とくに実際の間隙幅を測定し、その今布から求めた値がより妥当と思われる。以上のことより、岩盤の透水係数は、Crackの形状を調査し、かなりの精度を推定しうることがわかった。調査とあたってはとくに間隙幅今布の特性を調べる必要があろう。今後はこのような考え方を、実際岩盤と適用し、その有用性をより詳しく調べるつもりである。

図-6 近似理論の性質

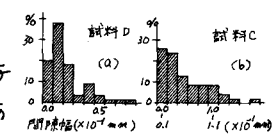


表-1 実測透水係数と粗度の計算値比較
(単位: cm/sec)

| 試料名 | LOUIS | Lomis | 近似計算 | | 実測 |
|-----|-----------------------|--------------------|-----------------------|-----------------------|-----------------------|
| | | | 図-6の実験間隙幅より得た粗度 | 透水係数 | |
| A | 1.61×10^{-1} | 1.08×10^1 | 1.39×10^{-1} | 1.27×10^{-1} | 1.16×10^{-1} |
| B | 5.20×10^{-1} | 3.28×10^1 | 2.39×10^0 | 3.06×10^{-1} | 5.53×10^{-1} |
| C | 7.45×10^{-2} | 4.55×10^2 | 2.02×10^0 | 2.44×10^{-1} | 4.17×10^{-2} |
| D | 9.61×10^{-1} | 5.84×10^3 | 2.26×10^0 | 3.73×10^{-1} | 3.01×10^{-1} |

参考文献) Louis, C (1969), A study of ground water flow in jointed rock and its influence on the stability of rock masses, Imperial College Rock Mech. Res. Rep. No.10, Sept., pp1~90